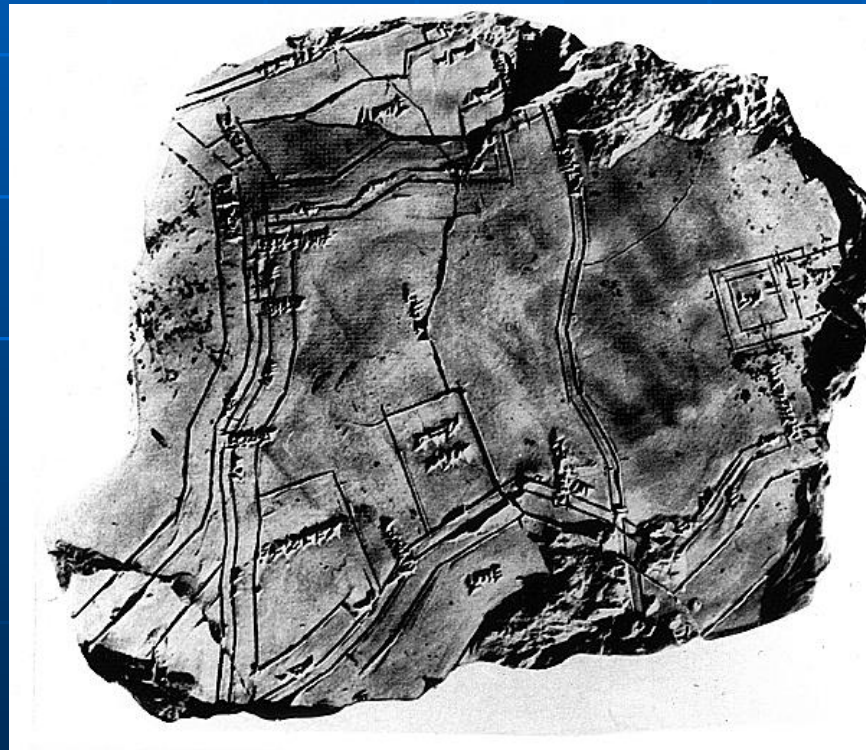


**Radice del problema generale della  
cartografia:  
la terra non è piatta (??), le  
rappresentazioni cartografiche, sì!**

**frammento della  
pianta di Nippur  
(circa 1500 a.C.)**

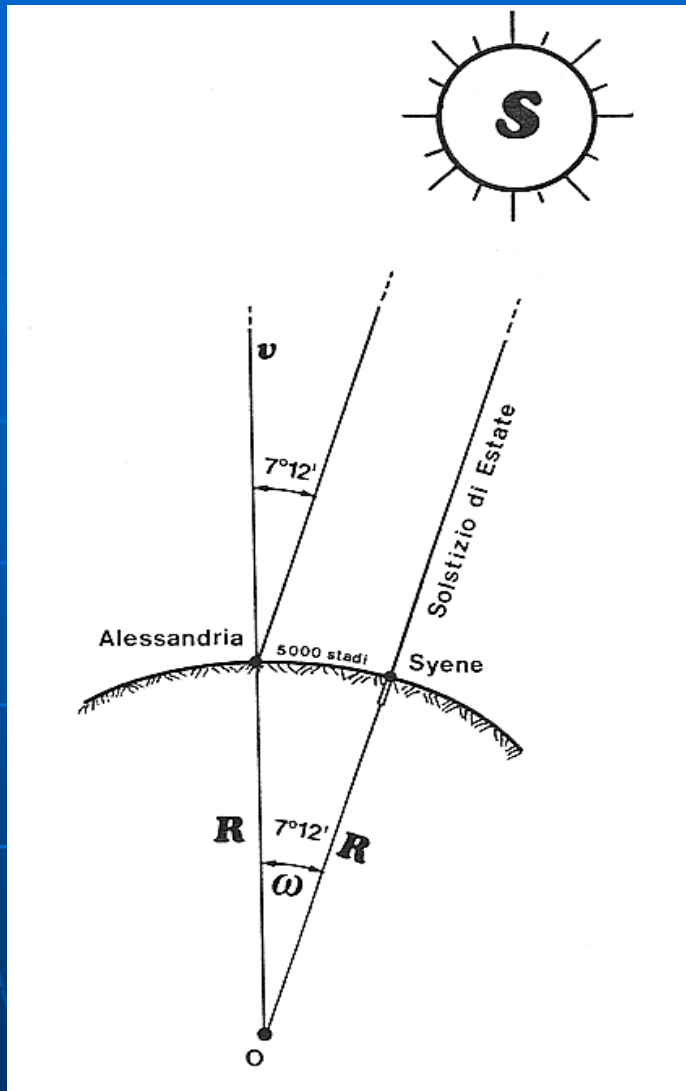


*M. Fondelli, 2000, Cartografia Numerica I,  
Pitagora Editrice, Bologna*

Lo sviluppo della moderna cartografia è legato  
allo sviluppo della  
**Geodesia**

=

**Studio della forma e dimensioni della terra**



Nel 220 a.C.  
Eratostene di Cirene  
(276-195 a.C.)  
compie la prima  
misura del raggio di  
curvatura terrestre  
osservando il Sole .

Errore in eccesso, 15%!

Numerose campagne di misurazione di “arco di meridiano” per oltre 2000 anni.

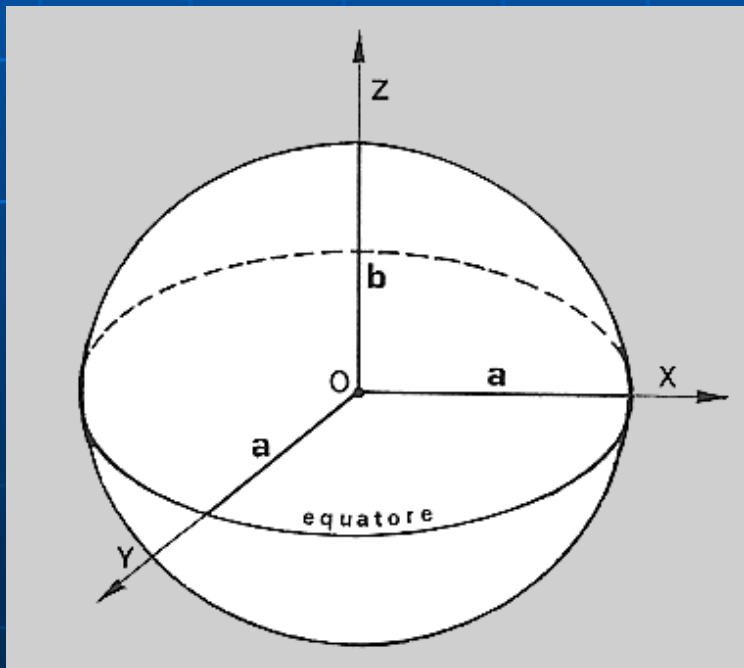
Nonostante la precisione di misura sia ormai elevata, e le computazioni ripetibili,

Le misure della distanza di un arco di meridiano compiute a diverse latitudini danno differenti risultati.....

Un caso???

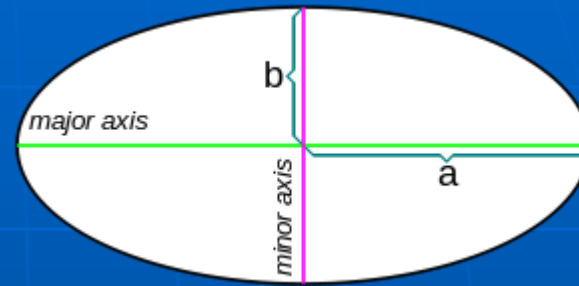
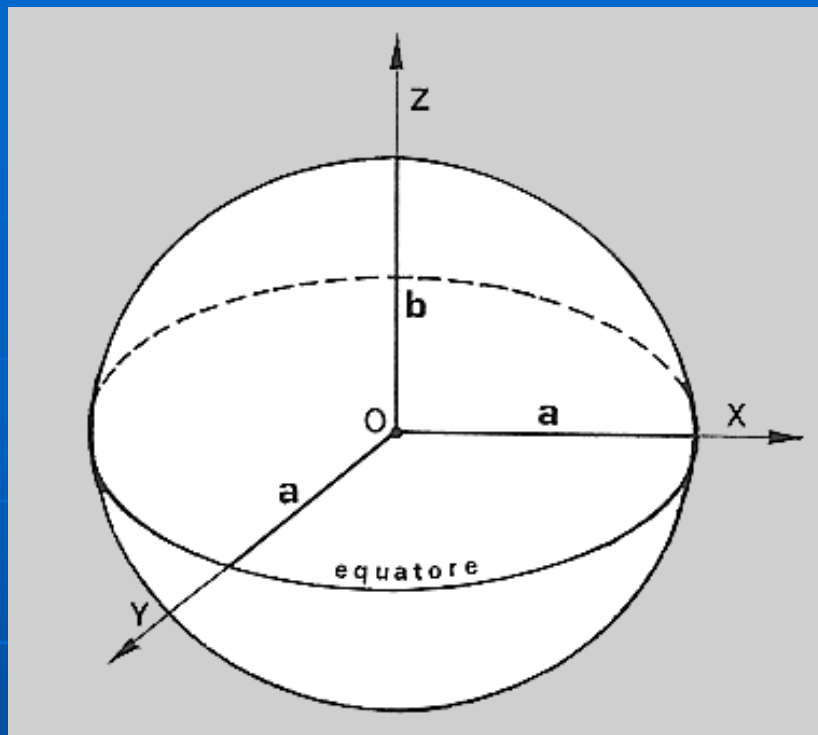
Certamente no!

Isaac Newton, Christian Huyghens e Robert Hooke attribuiscono il fenomeno alla diminuzione della gravità verso le zone equatoriali e deducono che la Terra è uno sferoide (ellissoide di rivoluzione) schiacciato ai poli.



## Ellissoide di rotazione o Sferoide

*M. Fondelli, 2000, Cartografia Numerica I,  
Pitagora Editrice, Bologna*



## Parametri dell'ellisse meridiana

**a**, semiasse maggiore

**b**, semiasse minore

**$s = (a-b)/a$**  schiacciamento

**$e^2 = (a^2-b^2)/a^2$**  eccentricità

Le missioni in Lapponia del 1736-37,  
diretta da Pierre-Luis Moreau de  
Maupertuis, ed in Perù del 1736-43,  
diretta da Pierre Bouguer e Charles-  
Marie De La Condamine, confermano  
lo schiacciamento ai poli dello sferoide.

La nuova meridiana di Francia (1792-99)  
permette a J.B. Delambre e P.F.A.  
Méchain di definire lo schiacciamento  
dello sferoide

$$s = 1/334,3$$

Negli anni successivi si susseguono  
numerose misurazioni e si sviluppano  
diversi ellissoidi di rivoluzione (rotazione)  
con vari valori di schiacciamento (ellissoidi  
di Walbeck, di Everest, di Bessel e di  
Clarke)



Nel 1849 George Gabriel Stokes  
perviene alla formula fondamentale della  
gravimetria.

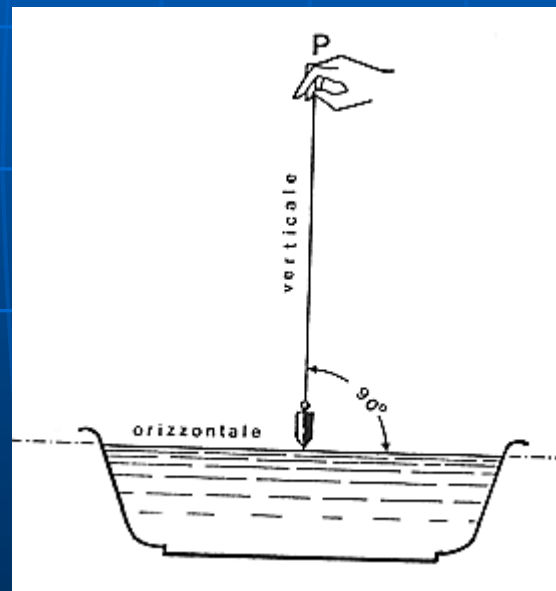
Si sviluppa lo studio della distribuzione  
della gravità sul pianeta e viene definito

Il **geoide**, ovvero una forma molto  
complessa, definita dalla distribuzione

della gravità

(superficie equipotenziale)

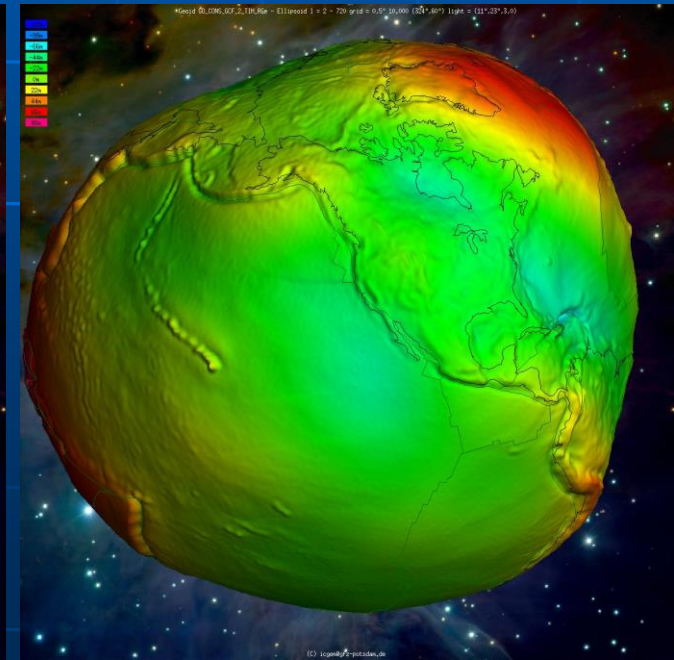
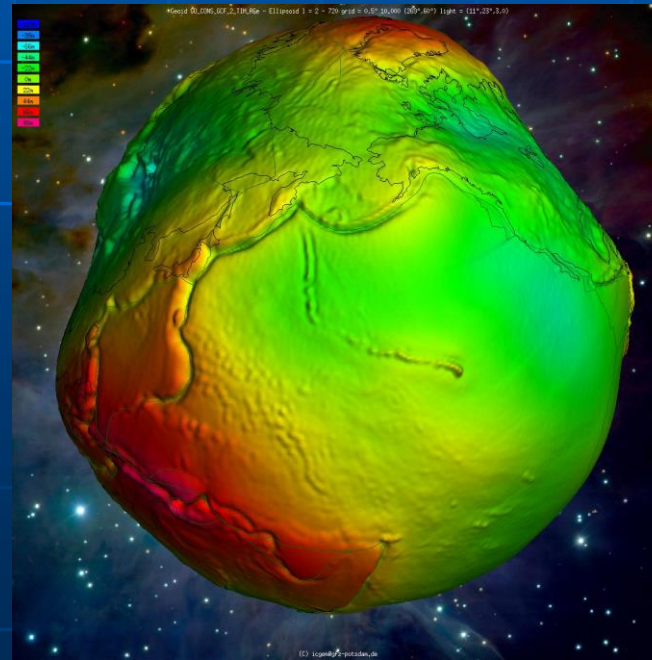
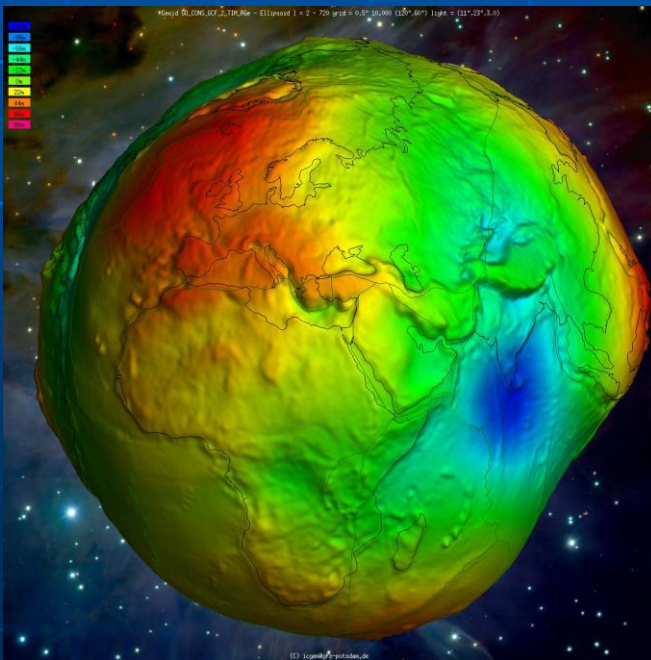
La direzione locale della linea di forza della gravità prende il nome di “*verticale locale*”; il luogo dei punti di identico livello energetico potenziale definisce una “*superficie di livello equipotenziale*”



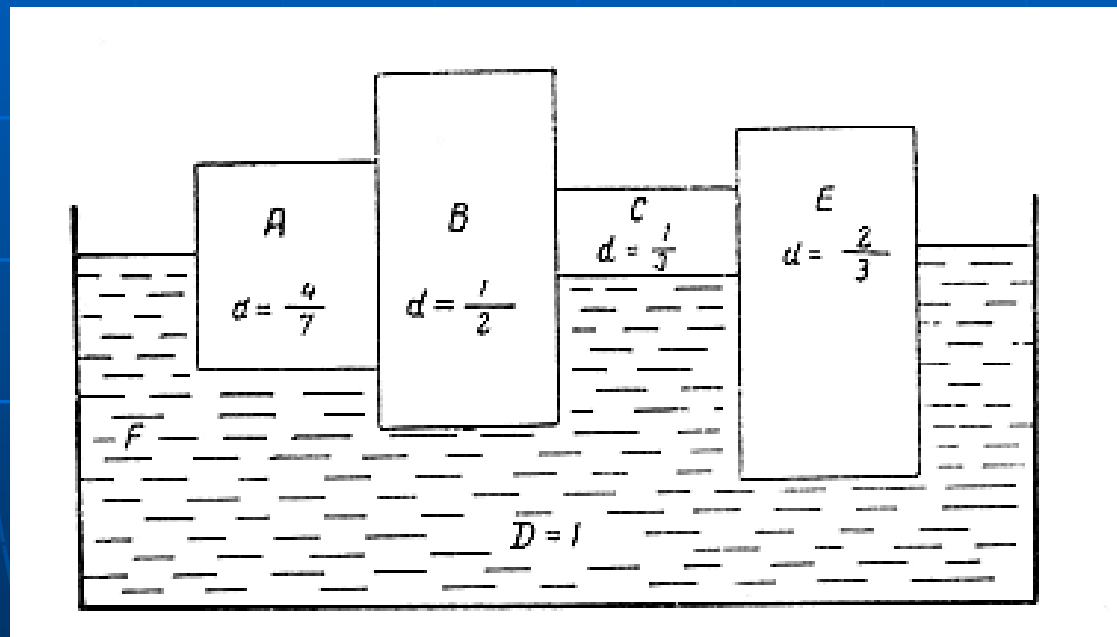
*M. Fondelli, 2000, Cartografia Numerica I,  
Pitagora Editrice, Bologna*

# Geoide

è la superficie di livello equipotenziale definita dal campo di gravità che passa per il punto medio marino (“mare medio”) di un prescelto luogo della Terra.

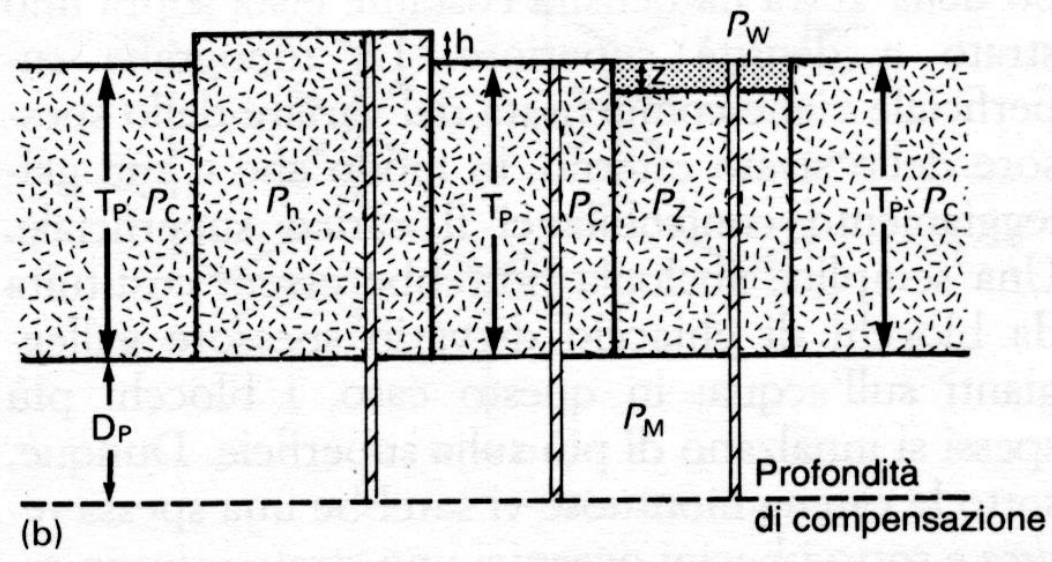
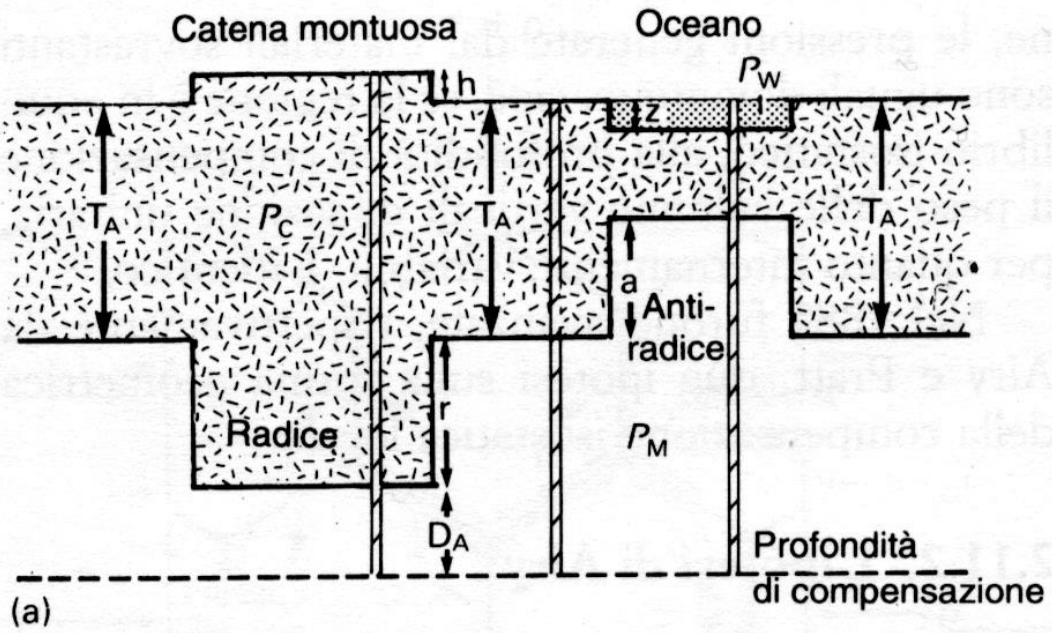


## Il geoide e le ipotesi isostatiche

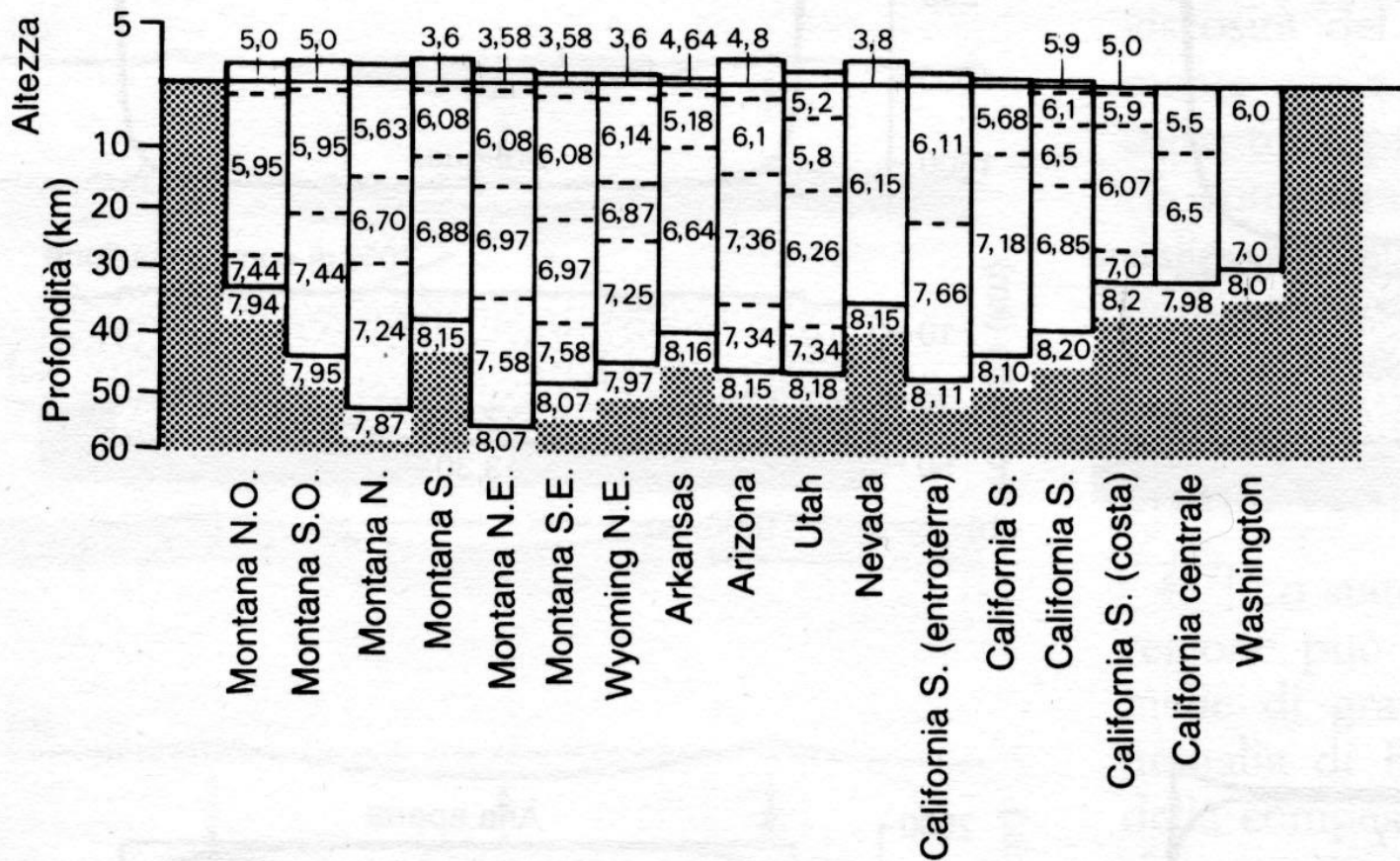
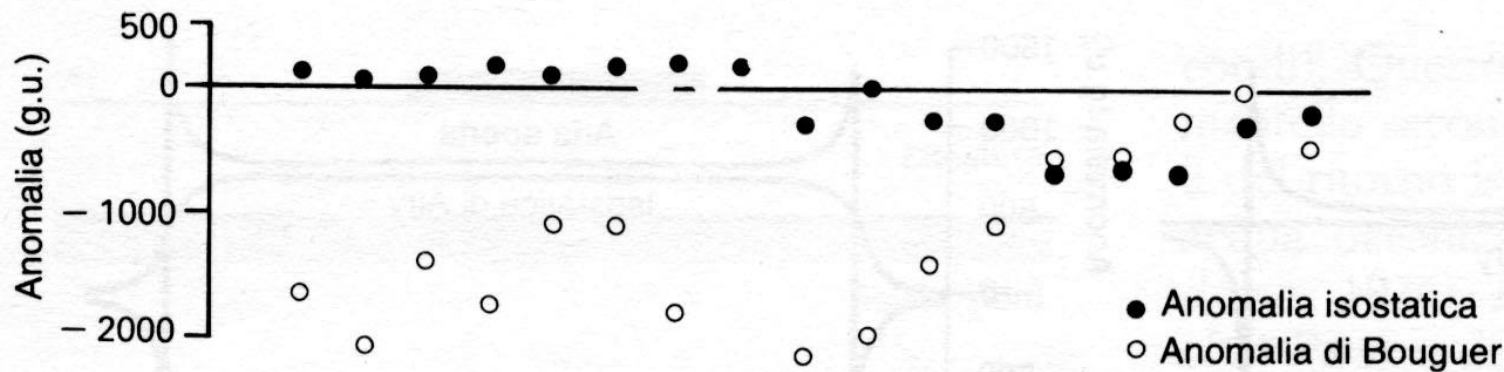


ipotesi isostatiche,

Airy



Pratt



L'estrapolazione di una forma più semplice, ovvero quella di un ellissoide di rotazione, che serva come riferimento semplificato non viene abbandonata:

Nel 1901 Friedrich Robert Helmert (1843-1917) definisce per via gravimetrica un ellissoide che, in via generale, approssima al meglio il geoide, ovvero l'ellissoide terrestre

$$a = 6.378.200 \text{ m} \quad s = 1/298,3$$

# Geoide

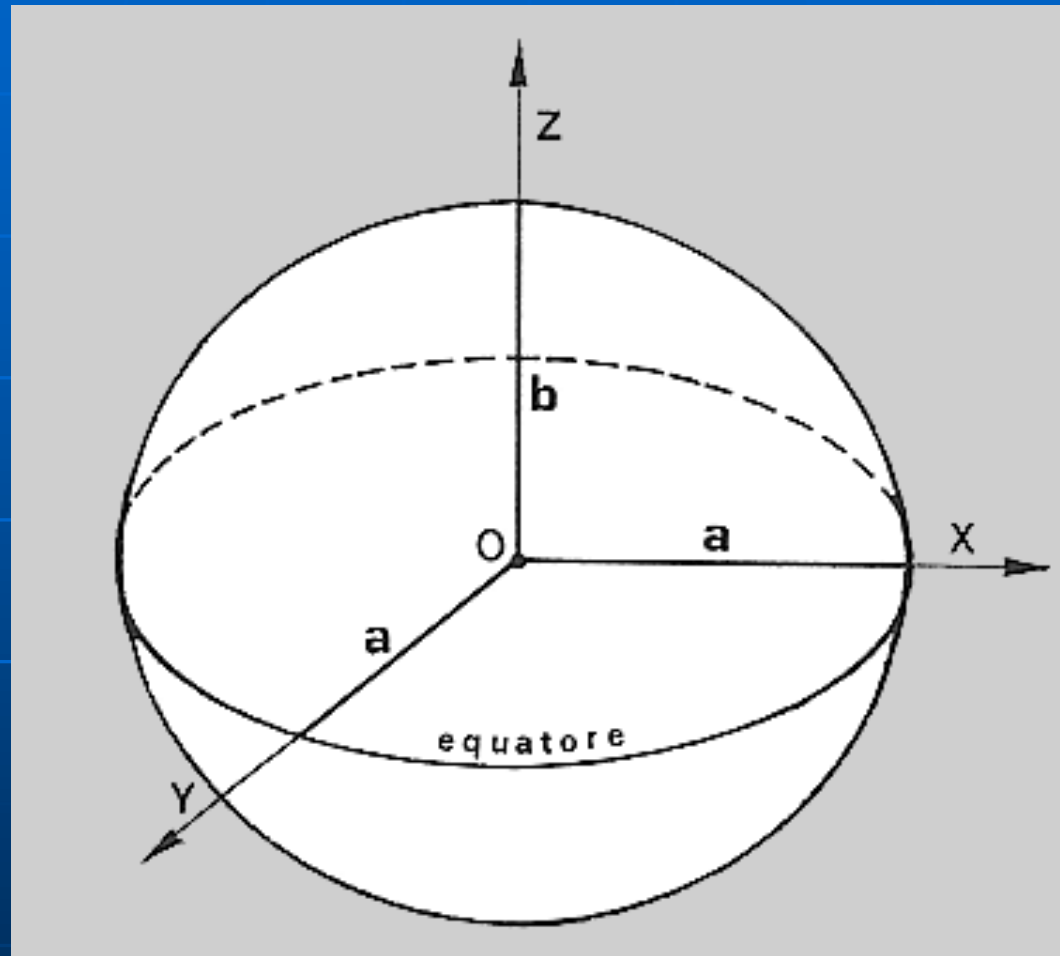
è la superficie di livello equipotenziale definita dal campo di gravità che passa per il punto medio marino (“mare medio”) di un prescelto luogo della Terra.

## Ellissoide terrestre o Sferoide

è la superficie geometrica generata dalla rotazione di un'ellisse meridiana attorno al proprio asse minore coincidente con l'asse di rotazione terrestre



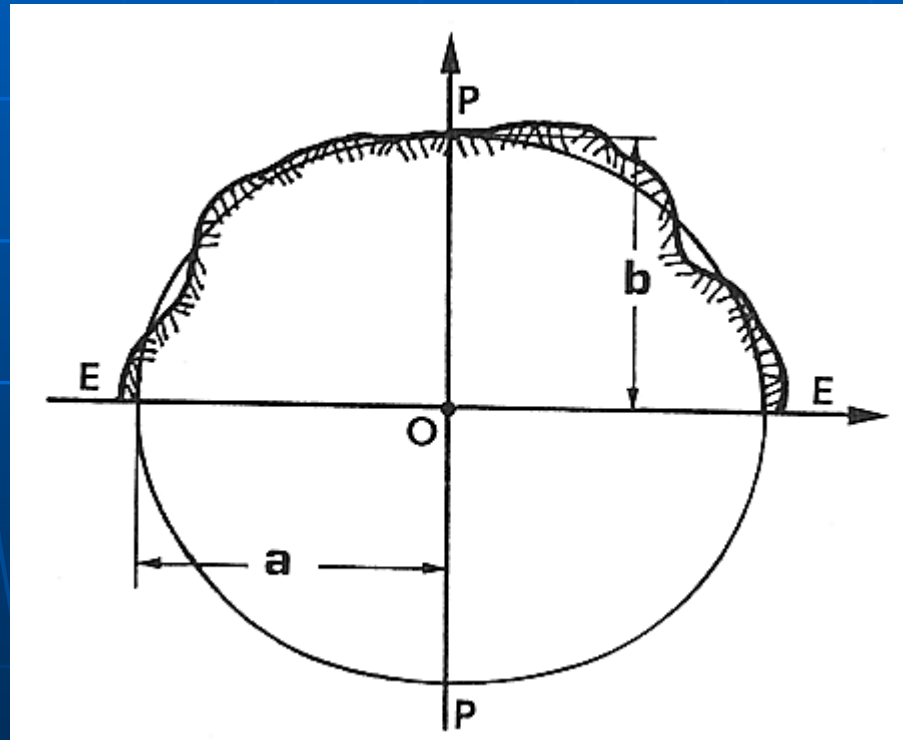
# Ellissoide di rotazione o Sferoide



*M. Fondelli, 2000, Cartografia Numerica I,  
Pitagora Editrice, Bologna*

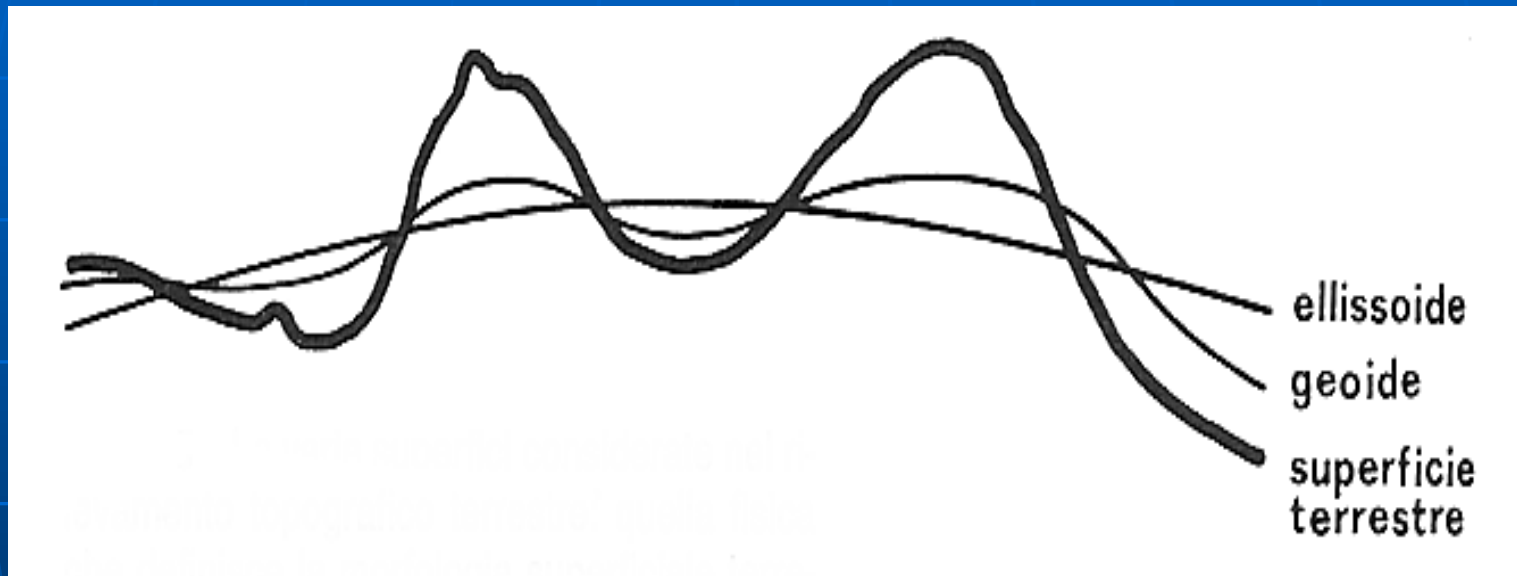
Nel 1909 John F. Hayford (1890-1935)  
definisce i parametri dell'*ellissoide  
internazionale*

$$a = 6.378.388 \text{ m} \quad s = 1/297$$



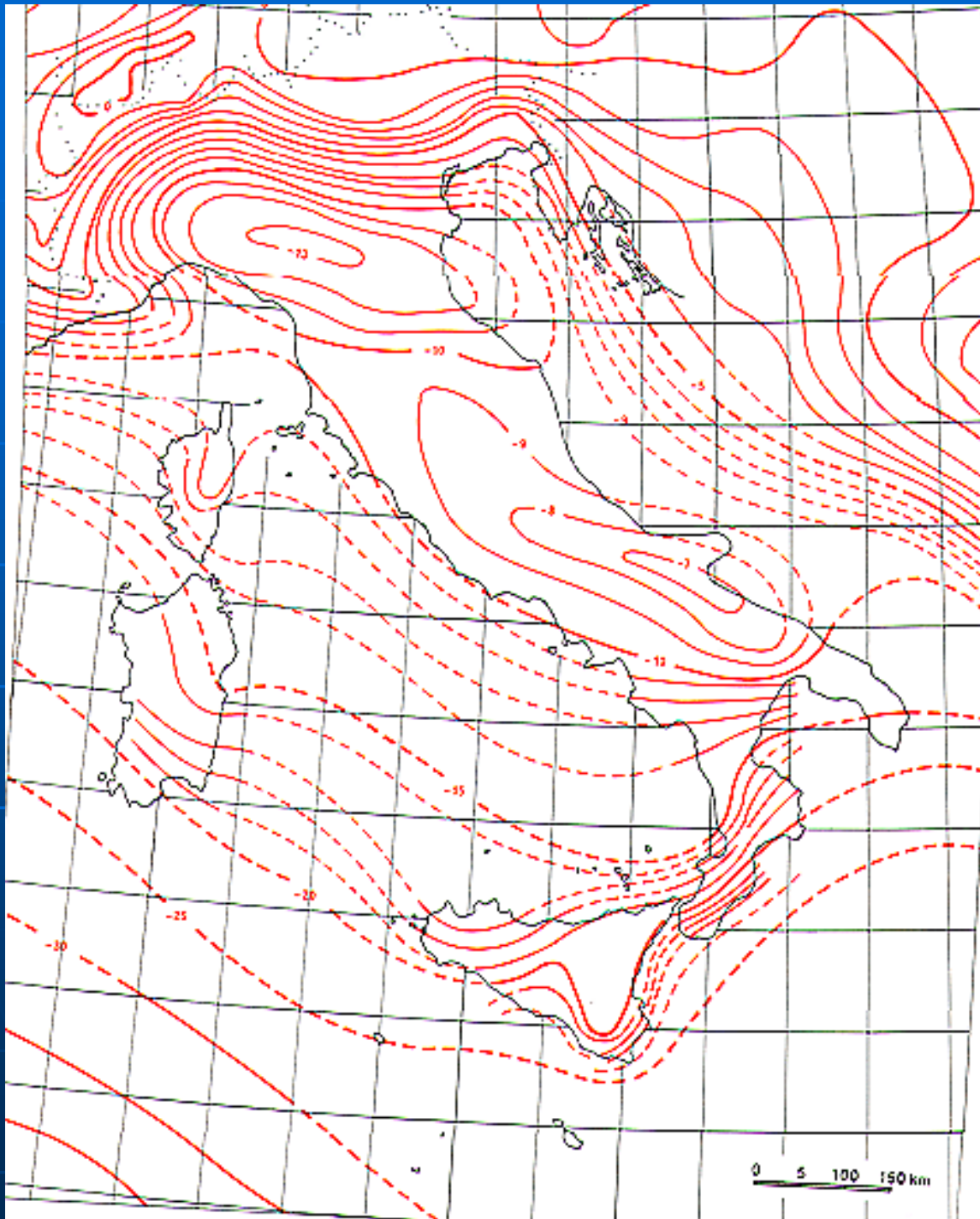
M. Fondelli, 2000, *Cartografia Numerica I*,  
Pitagora Editrice, Bologna

# Superfici considerate dal rilevamento topografico e dalla cartografia



*M. Fondelli, 2000, Cartografia Numerica I,  
Pitagora Editrice, Bologna*

# Ondulazioni geoidiche in Italia



<http://icgem.gfz-potsdam.de/vis3d/longtime?modelid=2b82cfe40a06ab1d7cf36cbdb954f5ca0753fb711f20c9c63b3eb70de0f8fac8>

M. Fondelli, 2000, *Cartografia Numerica I*, Pitagora Editrice, Bologna

# Quali concetti usiamo ora?

- Geoide
- Ellissoidi di rotazione o sferoidi
- Sfera locale
- Campo topografico

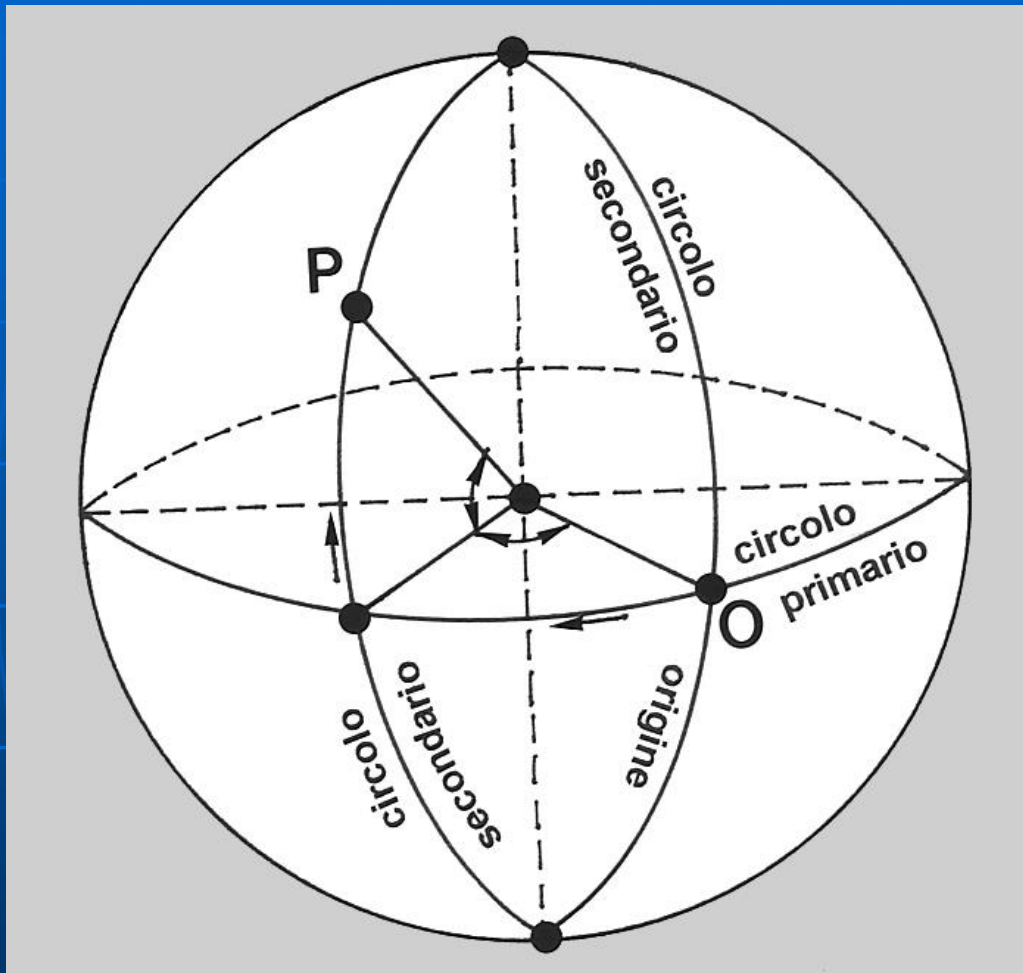
## Misura delle coordinate.

La definizione della posizione dei punti dello spazio è legata alla “*direzione della verticale*” ed alla scelta della “*superficie di riferimento*” .

# Superfici di riferimento

- **Ellissoide di rotazione o Sferoide**
- **Sfera**
- **Piano**

# Sistemi di coordinate sferiche

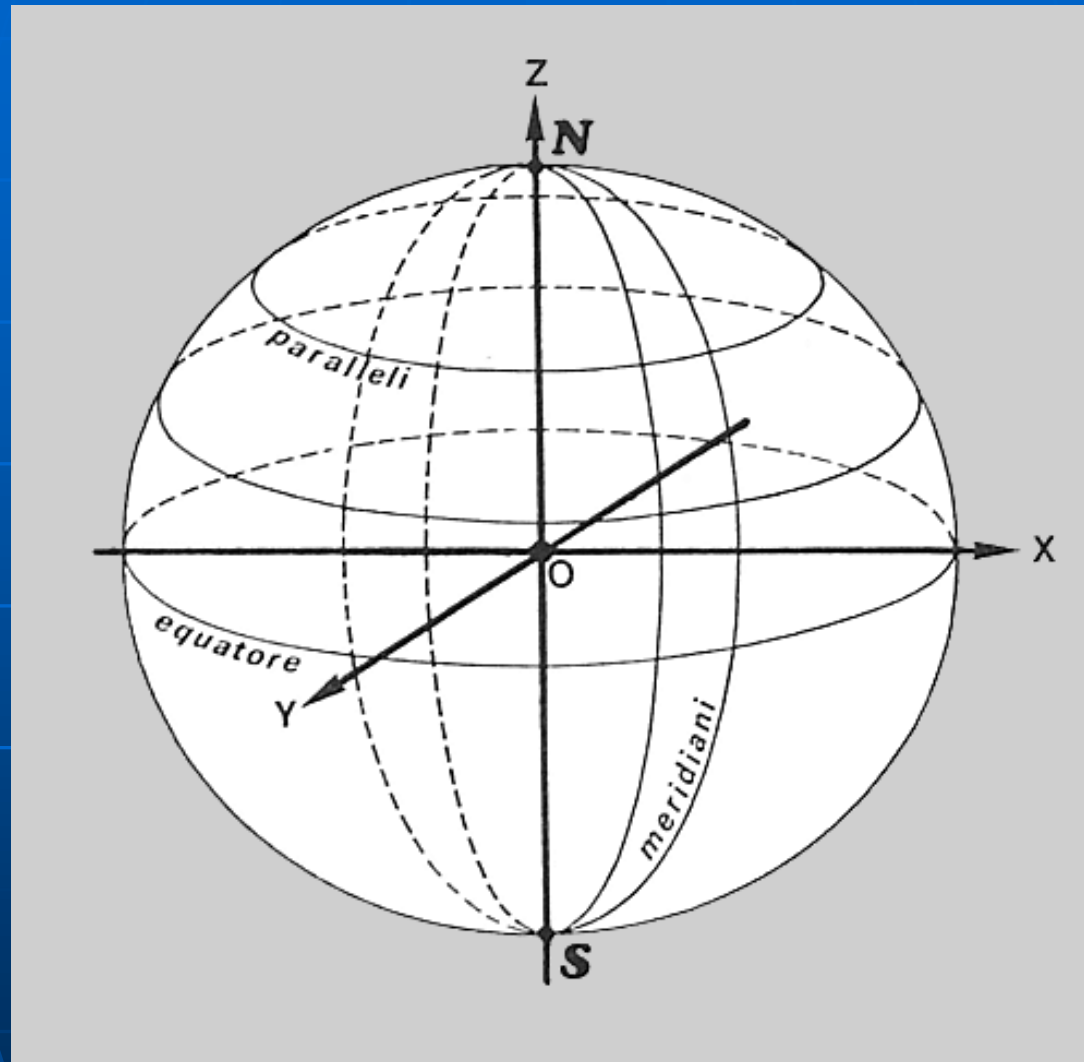


M. Fondelli, 2000, *Cartografia Numerica I*,  
Pitagora Editrice, Bologna

La posizione  
del punto P é  
definita da un  
“cerchio  
massimo  
primario” e da  
un “cerchio  
massimo  
secondario”  
passante per i  
poli del  
primario

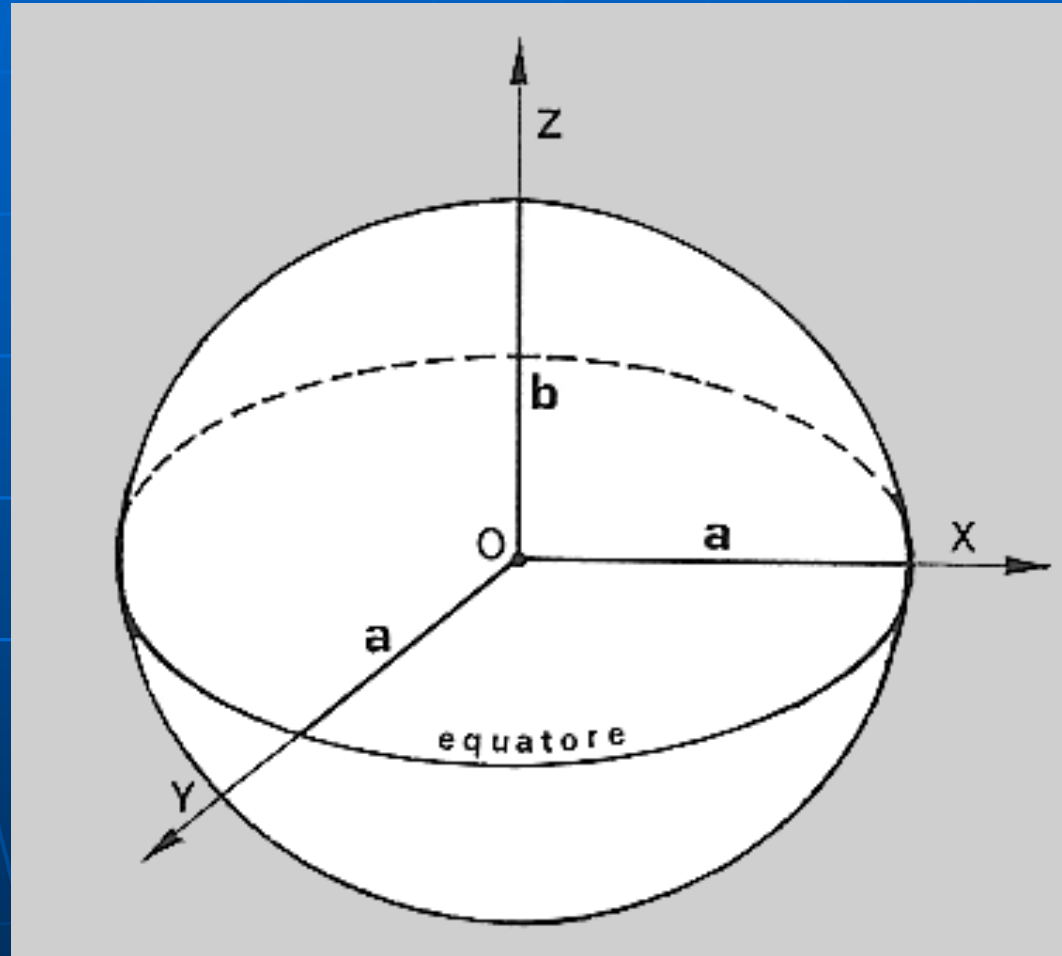


# Definizione delle coordinate geografiche



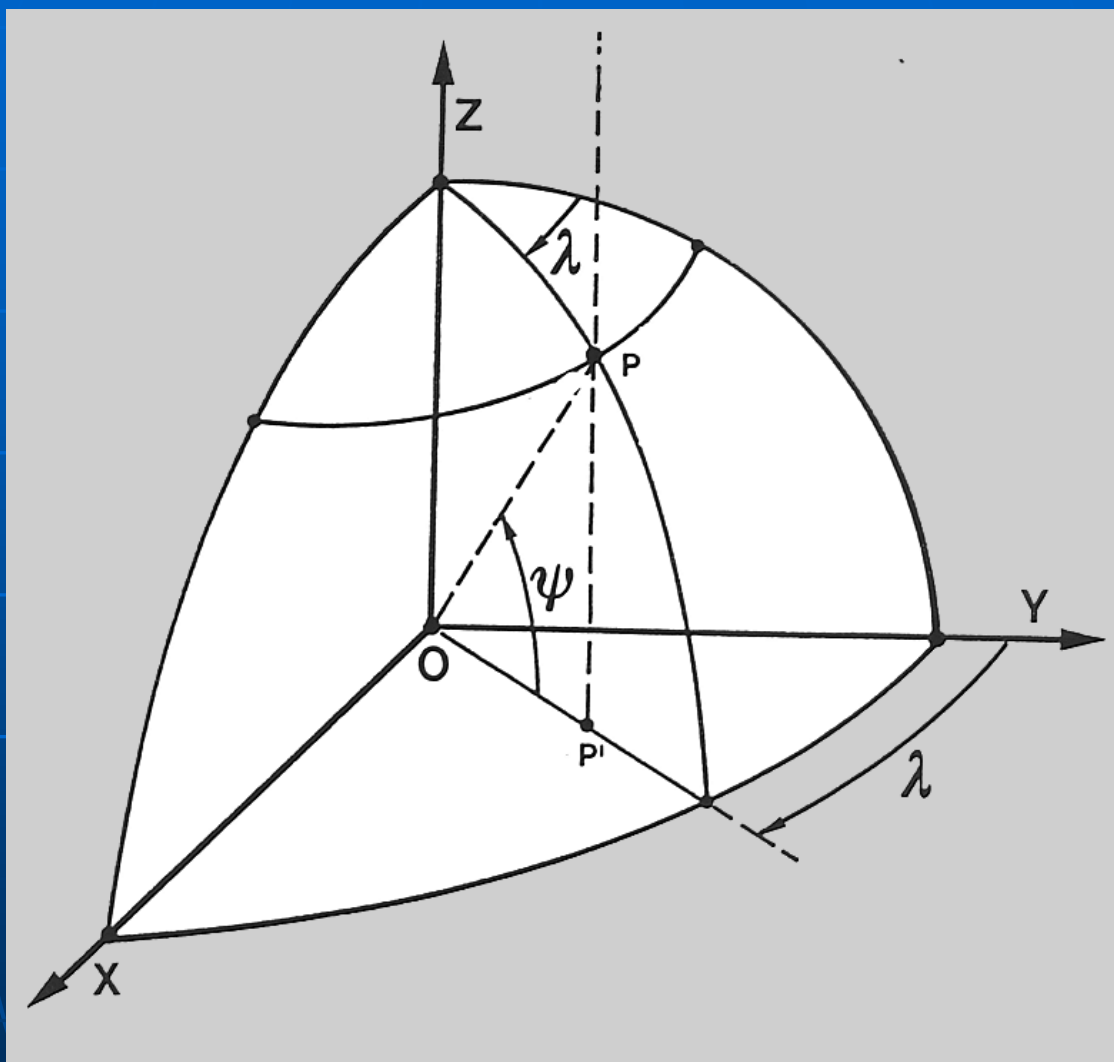
*M. Fondelli, 2000, Cartografia Numerica I,  
Pitagora Editrice, Bologna*

# E su un ellissoide a due assi (sferoide)?



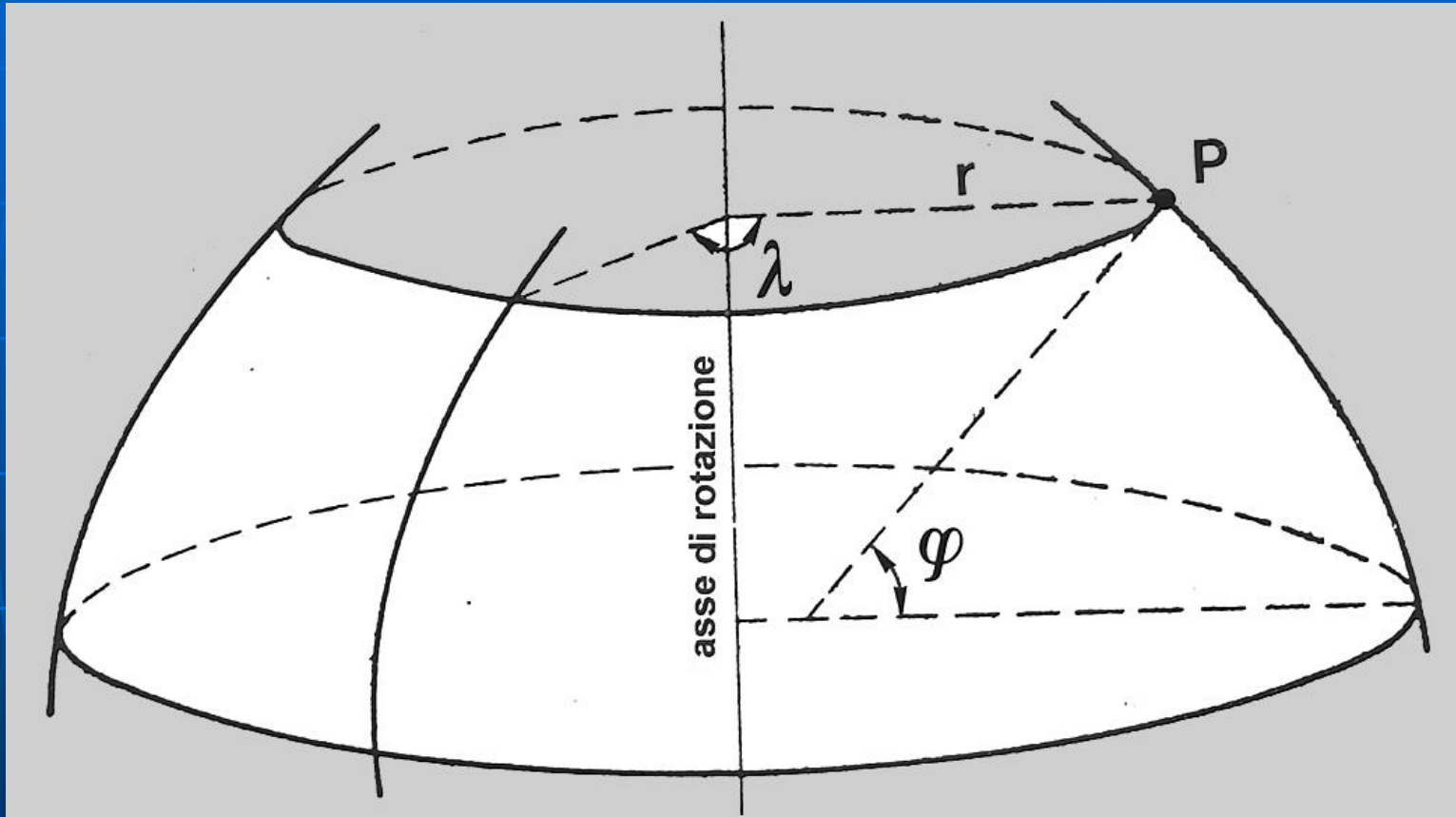
*M. Fondelli, 2000, Cartografia Numerica I,  
Pitagora Editrice, Bologna*

# Latitudine geocentrica



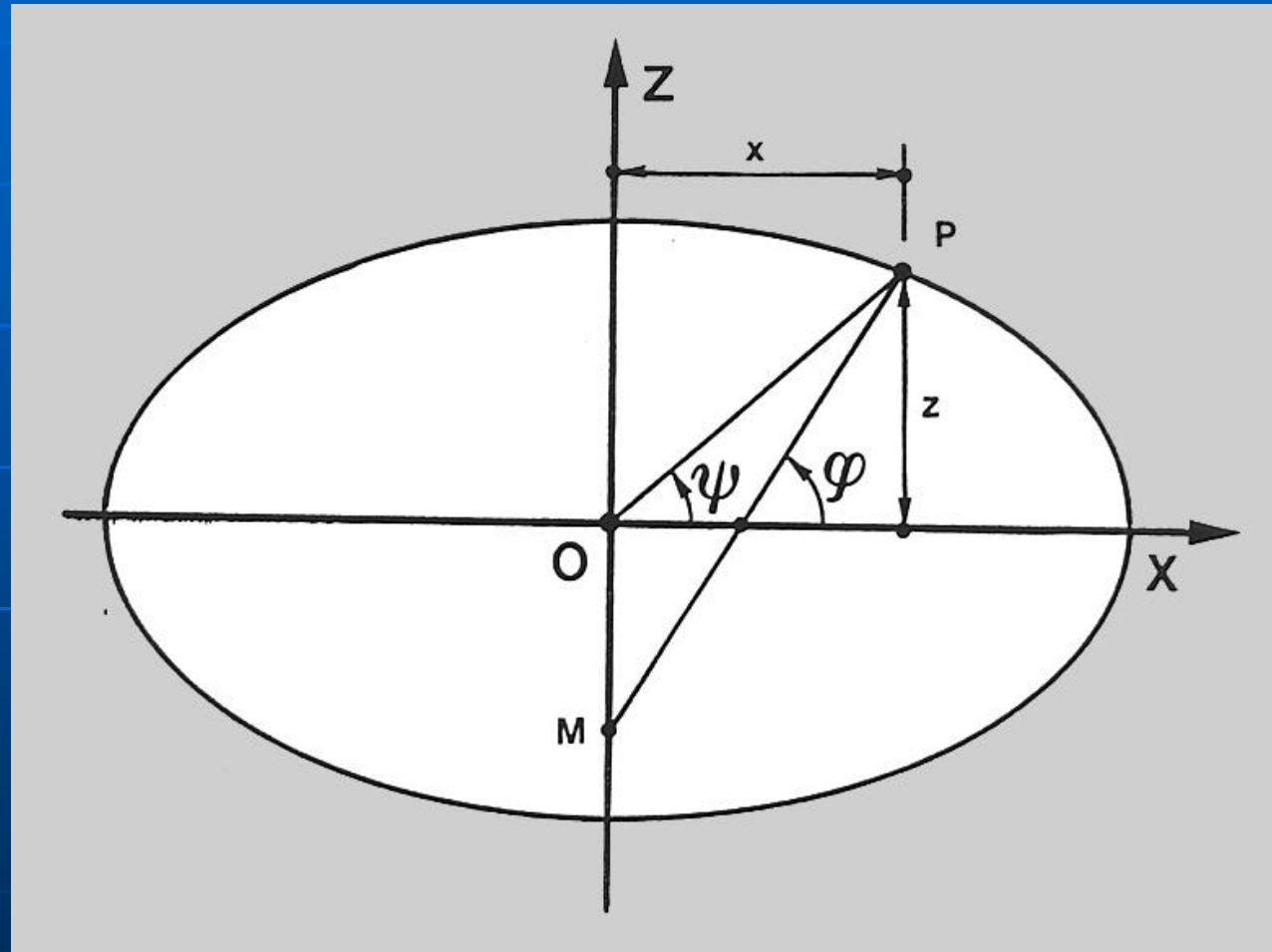
*M. Fondelli, 2000, Cartografia Numerica I,  
Pitagora Editrice, Bologna*

# Latitudine geografica ellissoidica



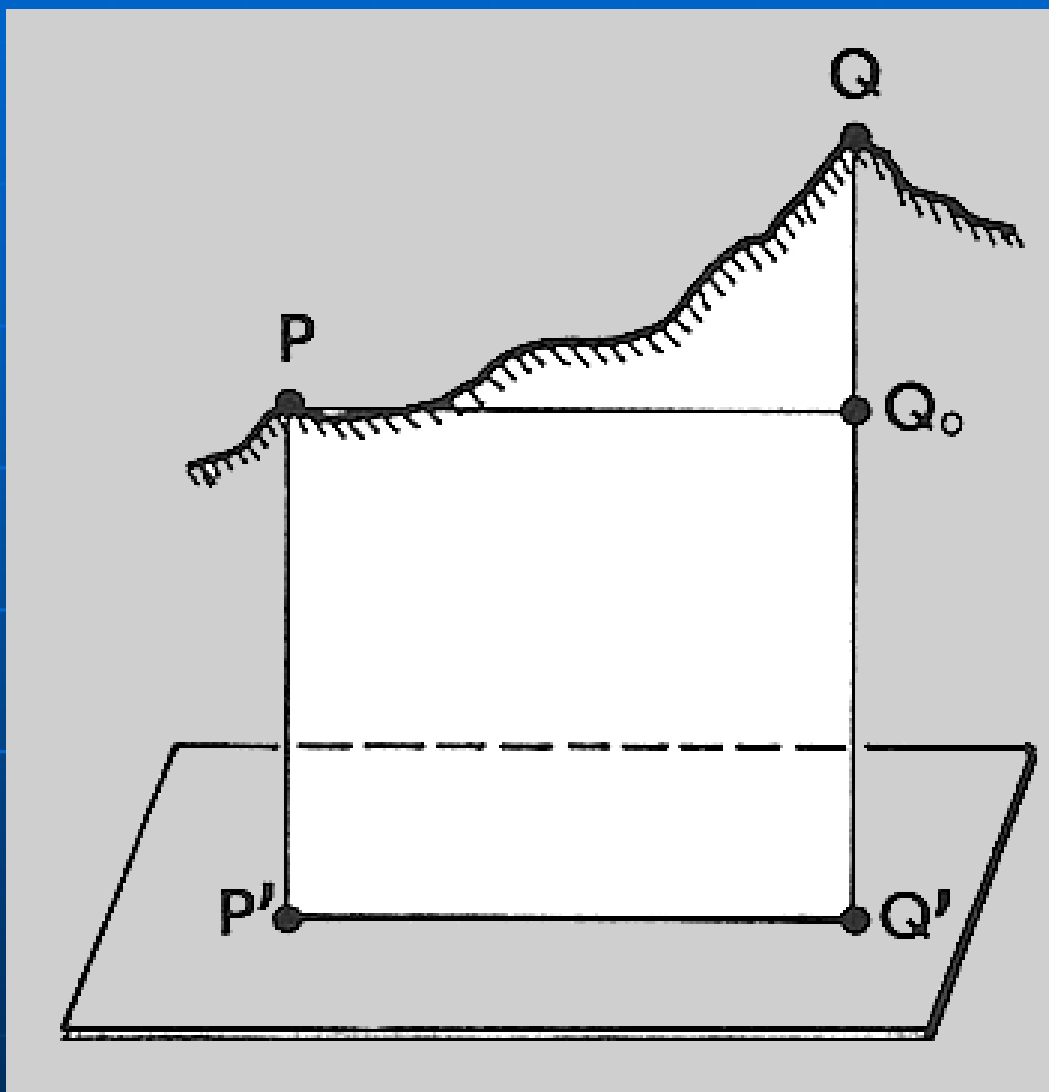
*M. Fondelli, 2000, Cartografia Numerica I,  
Pitagora Editrice, Bologna*

# Latitudine geografica ellissoidica e latitudine geocentrica



*M. Fondelli, 2000, Cartografia Numerica I,  
Pitagora Editrice, Bologna*

# Distanza e dislivello



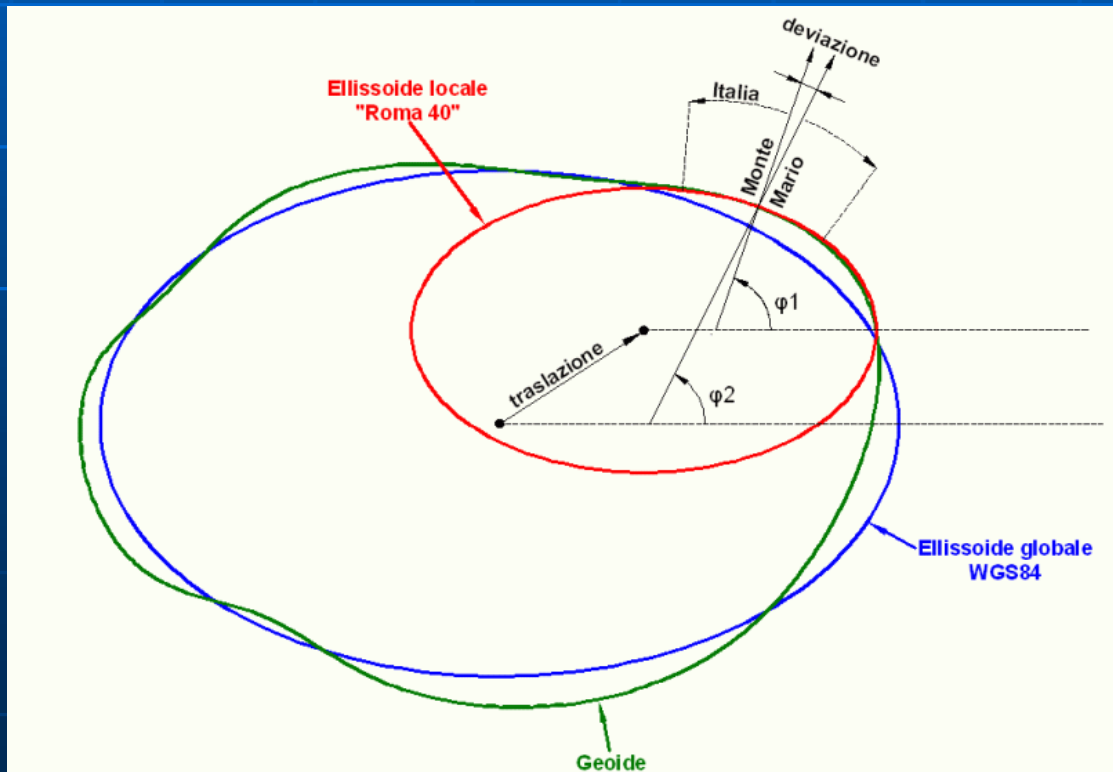
*M. Fondelli, 2000, Cartografia Numerica I,  
Pitagora Editrice, Bologna*

# Datum

**E' il modello matematico utilizzato per calcolare le coordinate geografiche**

# Datum

Deriva dalla semplificazione del geoide ed è dato da una superficie di riferimento (ellissoide), il punto di tangenza geoide-ellissoide (orientamento) e la direzione del meridiano di tangenza dell'ellissoide (orientamento e azimuth)



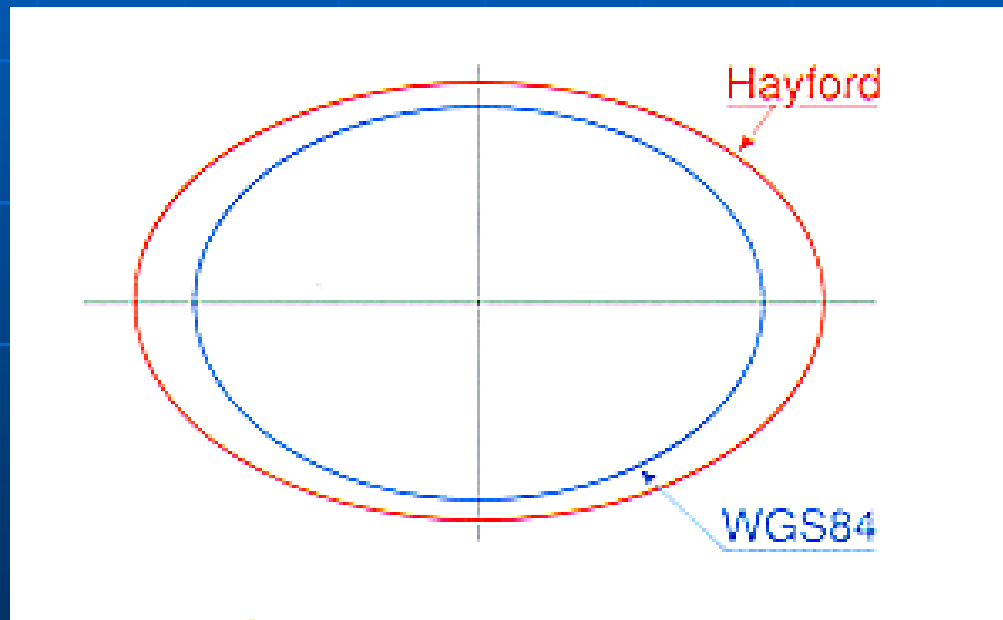
Si usano differenti ellipsoidi in funzione delle esigenze, possono essere geocentrici (es. WGS84) o locali (es. Hayford per sistema SI 40)



# Ellissoidi di riferimento adottati in Italia

Hayford      $a = 6.378.388$       $b = 6.356.912$

WGS84      $a = 6.378.137$       $b = 6.356.752$



$$\frac{X^2}{a^2} + \frac{Y^2}{a^2} + \frac{Z^2}{b^2} = 1$$

$$e^2 = \frac{(a^2 - b^2)}{a^2} \quad s$$

$$= \frac{(a - b)(a + b)}{a^2}$$

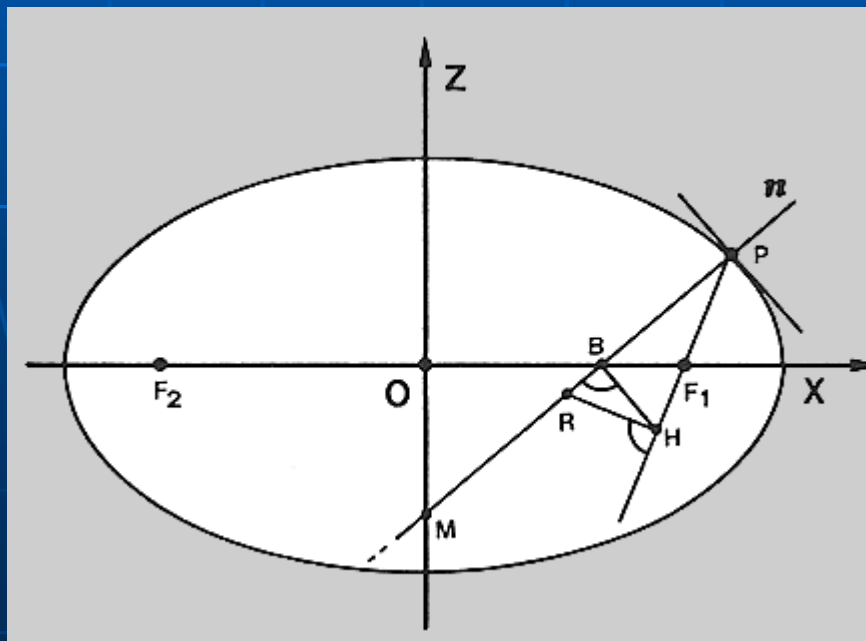
# Raggi principali di curvatura

sezione meridiana  
(raggio di curvatura  
del meridiano)

$$\rho = \frac{a(1 - e^2)}{(1 - e^2 \sin^2 \phi)^{3/2}}$$

sezione primo verticale  
(raggio di curv. massimo)

$$N = \frac{a}{(1 - e^2 \sin^2 \phi)^{1/2}}$$



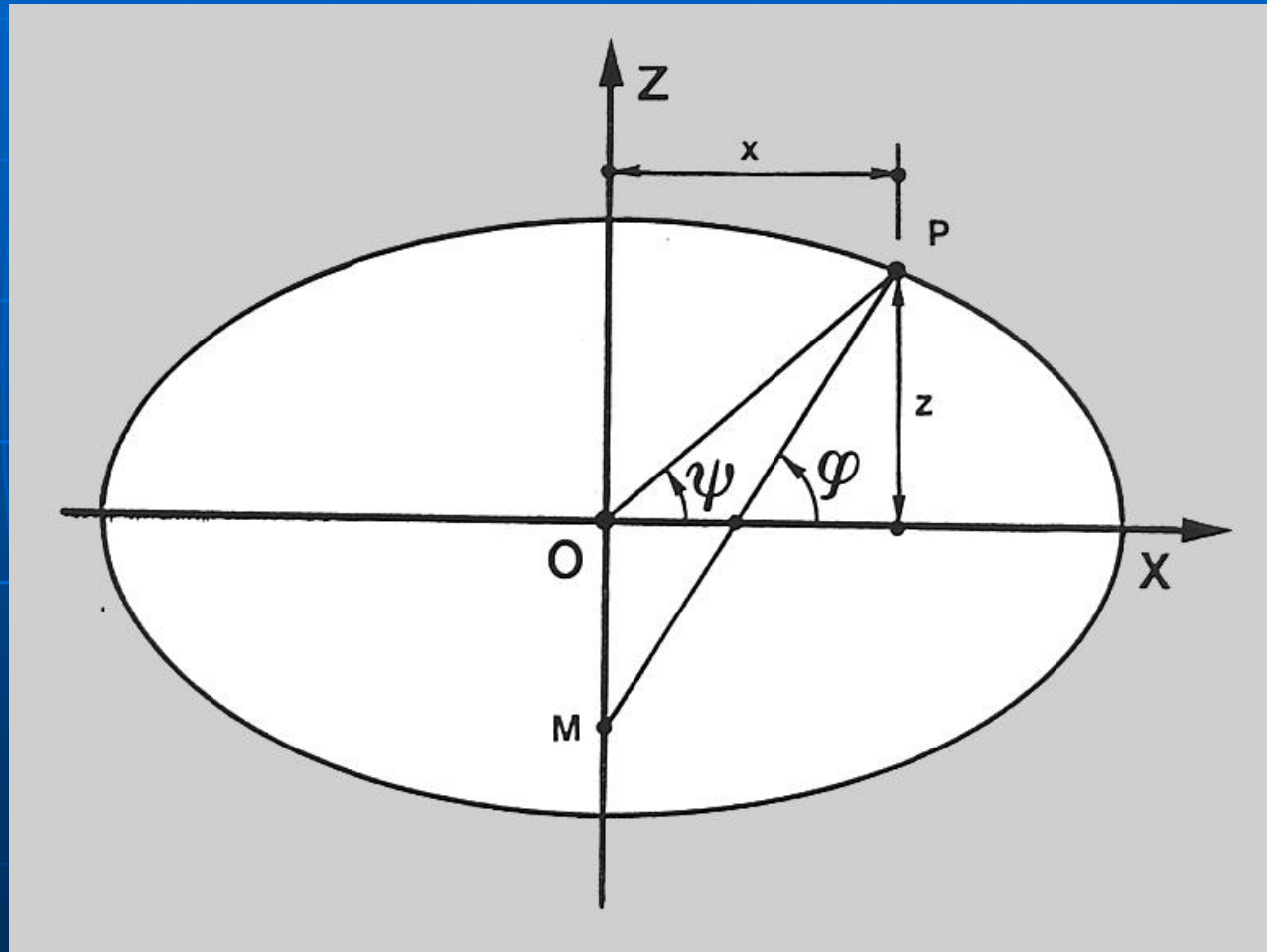
$a$  = semiasse maggiore

$e^2$  = eccentricità

Da cui, la curvatura totale  
nel punto P:

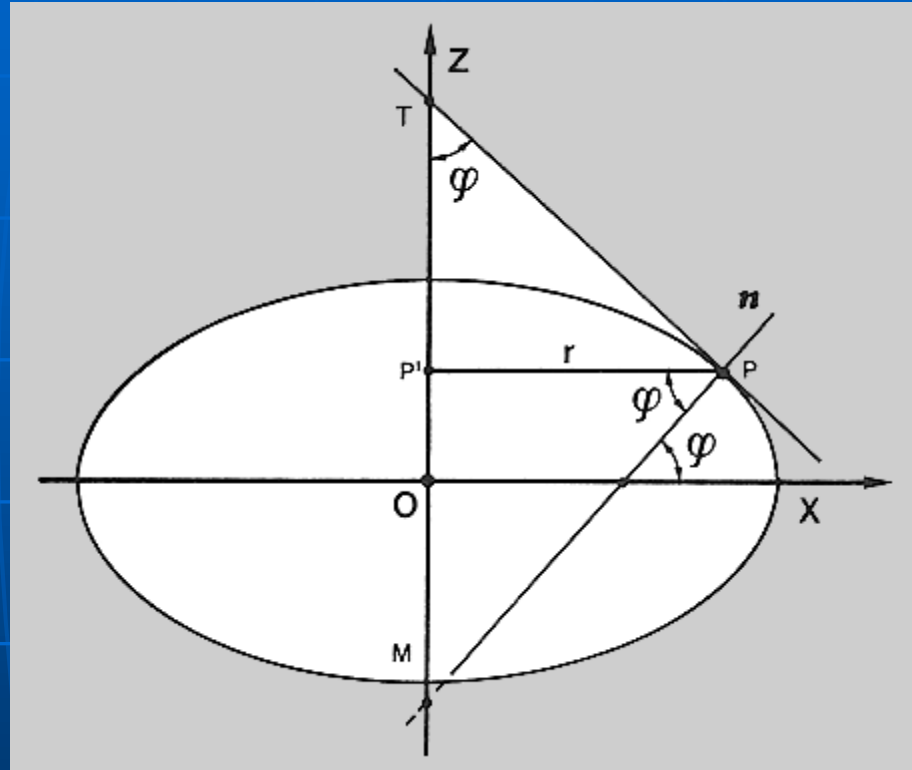
$$K = \frac{1}{\rho N}$$

# Latitudine geografica ellissoidica e latitudine geocentrica



*M. Fondelli, 2000, Cartografia Numerica I,  
Pitagora Editrice, Bologna*

# Raggio di curvatura del parallelo



$$r = N \cos \phi = \frac{a \cos \phi}{(1 - e^2 \sin^2 \phi)^{1/2}}$$

M. Fondelli, 2000,  
Cartografia Numerica I,  
Pitagora Editrice, Bologna

# Molto importanti per i calcoli delle proiezioni e dell'errore cartografico

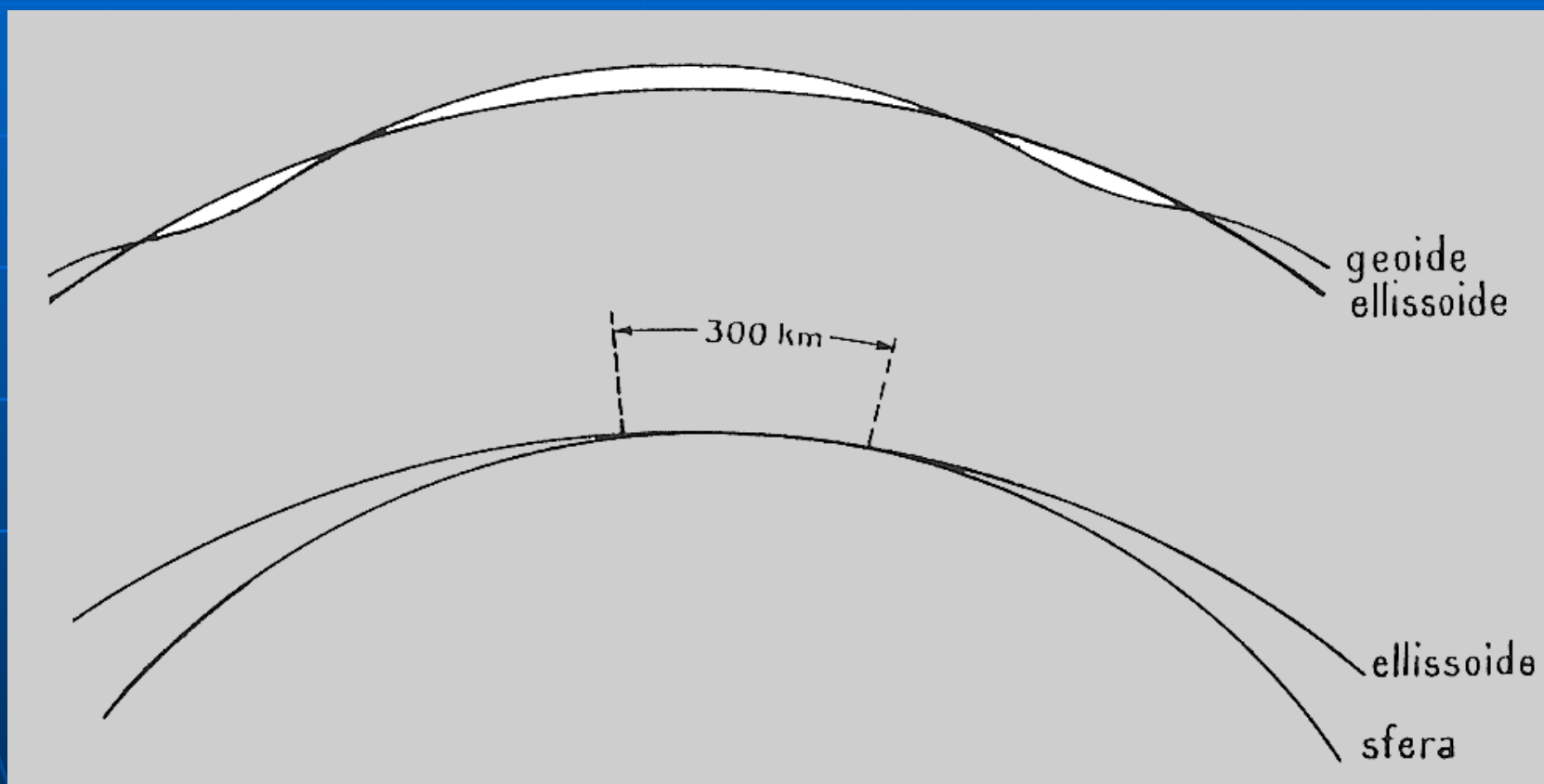
**Raggio di curvatura del meridiano**

$$\rho = \frac{a(1 - e^2)}{(1 - e^2 \sin^2 \phi)^{3/2}}$$

**Raggio di curvatura del parallelo**

$$r = \frac{a \cos \phi}{(1 - e^2 \sin^2 \phi)^{1/2}}$$

# Confronto fra ellissoide e sfera locale



*M. Fondelli, 2000, Cartografia Numerica I,  
Pitagora Editrice, Bologna*

**Campo geodetico**

# Sfera locale

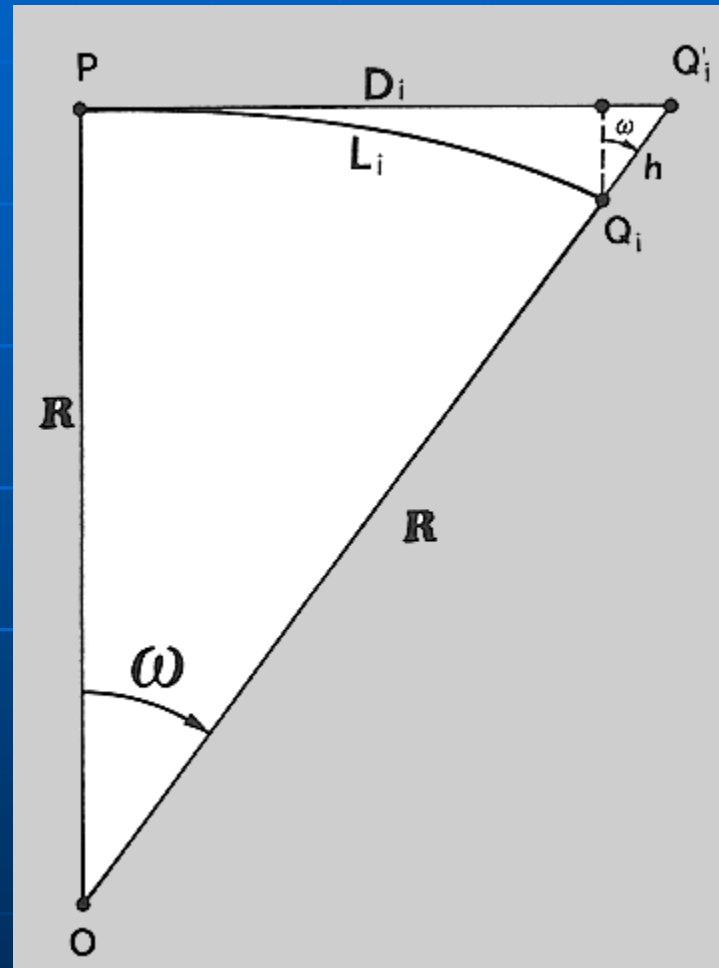
## Raggio della sfera locale

$$R = \sqrt{\rho N}$$

$$\rho = \frac{a(1 - e^2)}{(1 - e^2 \sin^2 \phi)^{3/2}}$$

$$N = \frac{a}{(1 - e^2 \sin^2 \phi)^{1/2}}$$

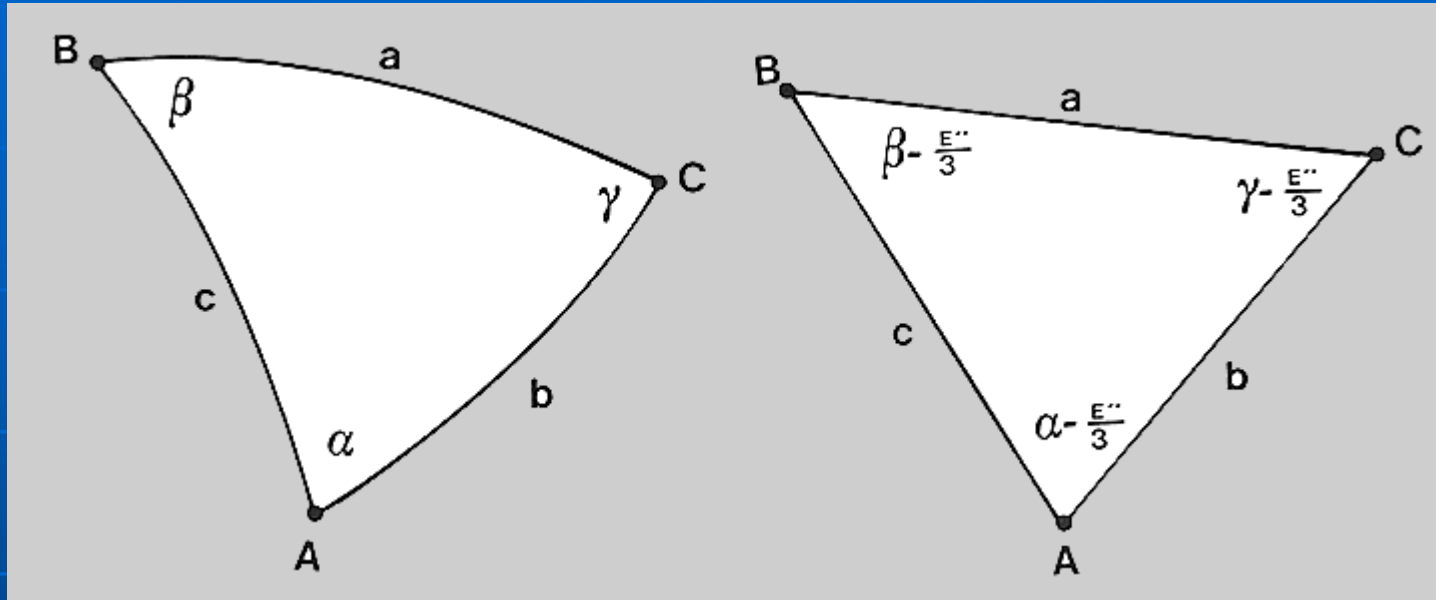
# Campo topografico



*M. Fondelli, 2000, Cartografia Numerica I,  
Pitagora Editrice, Bologna*



# Teorema di Legendre



*M. Fondelli, 2000, Cartografia Numerica I, Pitagora Editrice, Bologna*

**Eccesso sferico (eccedente l'angolo piatto!)**

$$E'' = (S/R^2) \cdot 206265''$$

(R= raggio sfera locale; S= superficie triangolo sferico)

# Errori dovuti alla curvatura terrestre

## Errori nelle distanze

Il campo topografico deve essere contenuto entro 15 km

## Errori sui dislivelli

$$h = D^2/2R$$

